

## بررسی تأثیر فولادهای عرضی و ورقهای تقویتی فولادی بر رفتار ستونهای بتنی

مرتضی شیخی\* و حسن حاجی کاظمی\*\*

دانشکده مهندسی، دانشگاه فردوسی مشهد

(دریافت مقاله: ۸۴/۵/۱ - دریافت نسخه نهایی: ۸۵/۴/۷)

چکیده - پوشش ستونهای بتنی با ورقهای فولادی یکی از روش‌های مناسب مقاوم سازی این سازه هاست. با استفاده از این روش، ضمن افزایش مقاومت محوری و خمشی و برشی ستون، شکل پذیری آن نیز بهبود می‌باید. در این پژوهش، با بررسی اثرات محصورشدن بتن توسط خاموتها و یا ورقهای فولادی تقویتی پیرامون آن، تغییرات منحنی اندرکنش بارمحوری- لنگرخمشی ستونها مورد مطالعه قرار می‌گیرد. نتایج نشان می‌دهد که اثرات محصورشدن بتن در محدوده مکانیزم رفتاری شکست مواد ستونها به ویژه بر رفتار ستونهای لاغر با بارمحوری نسبتاً زیاد بسیار محسوس‌تر است.

واژگان کلیدی : ستون، تقویت، محصورشدن، اندرکنش بار- لنگر، شکل پذیری

## A Theoretical Study of the Behavior of Reinforced Concrete Columns Strengthened by Steel Plates and Transverse Reinforcements

M. Sheikhi and H. Haji-Kazemi

Faculty of Engineering, Ferdowsi University of Mashad

**Abstract:** *Jacketing of reinforced concrete columns is a common and useful strengthening method. This method substantially improves mechanical properties of the column, such as flexural strength as well as shear and ductility. In this paper, the behavior of confined reinforced concrete columns are investigated. The results indicate that the method is more effective for slender columns in the region of their failure zone.*

**Keywords:** *Columns, Strengthening, Confinement, Load-moment interaction, Ductility.*

\*-کارشناس ارشد      \*\*- استاد

## ۱- مقدمه

تقویت با ورق فولادی این افزایش حجم توسط پوسته فولادی مهار شده و در نتیجه بتن تحت تنشهای سه محوری قرار می‌گیرد که پیامد آن افزایش مقاومت فشاری هسته بتنی خواهد بود. در حقیقت در این فرایند پوسته بتنی مشابه فولادهای عرضی ولی به صورت پیوسته عمل می‌کند. این پدیده تا هنگامی ادامه دارد که پوسته فولادی رو به بیرون صفحه کمانش موضعی کرده و بتن و پوسته فولادی در آن نقطه از مقطع دچار تخریب شوند. نکته قابل ذکر در این فرایند افزایش چشمگیر شکل‌پذیری ستون است که استفاده از این نوع مقطع را برای شرایط مقابله با زلزله مفیدتر می‌سازد.

با توجه به موارد ذکر شده، نموداراندرکنش بارمحوری-لنگر خمثی چند نمونه ستون بتن مسلح و ستون بتن مسلح تقویت شده با ورقهای فولادی براساس معادله‌های تعادل متعارف و روش پیشنهادی ارائه و مورد بررسی قرارخواهد گرفت.

لازم به توضیح است که در گذشته، پژوهشگران دیگری از جمله ساتسیوگلو و همکاران [۲۳] در زمینه اثرات فولادهای عرضی بر رفتار ستونها و همچنین اسامی و همکاران [۴] در زمینه اثر ورقهای تقویتی فولادی بر ستونهای شامل جعبه فولادی آکنده از بتن تحقیقات گسترده‌ای انجام داده‌اند. اما تحقیقات زیادی در معادله با اثرات توأم ورقهای فولادی و فولادهای عرضی یا خاموتها بر ستونهای بتن مسلح تقویت شده با ورقهای فولادی صورت نگرفته است.

## ۲- رفتار مقطع ستونهای بتن مسلح

وجود فولادهای عرضی در ستون بتن مسلح علاوه بر افزایش مقاومت بتن، شکل‌پذیری بیشتر مقطع را نیز به دنبال خواهد داشت. اساس کار چنین است که در اثر فشار جانبی وارد بر بتن از طرف خاموتها، تنشهای یک محوری هسته، به سه محوری تبدیل خواهند شد که نتیجه آن افزایش مقاومت و شکل‌پذیری بتن خواهد بود. معادله زیر معرف اثر فشار جانبی بر مقاومت فشاری بتن است.

در چند دهه اخیر بحث مقاوم سازی سازه‌ها یکی از مهمترین موضوعات مورد بررسی توسط پژوهشگران و جامعه علمی-صنعتی بوده است. موقع زلزله‌ها و تغییر آئین نامه‌ها از سویی و تغییرات شرایط محیطی و بارگذاری و عمر سازه‌های بتنی از دلایل عدمه نیاز آنها به مقاوم سازی است. از این رو در این مقاله، مقاوم سازی ستونهای بتن مسلح و از میان شیوه‌های مختلف مقاوم سازی، روش پوشش دادن ستون با ورقهای فولادی مد نظر قرار گرفته و تأثیر محصورشدنگی بتن بر رفتار ستون، به ویژه اندرکنش بارمحوری-لنگر خمثی مورد بررسی قرار گرفته است.

مقاوم سازی ستونهای بتنی به شیوه پوشش دادن با ورقهای فولادی علاوه بر افزایش مقاومت دارای محاسن دیگری نیز هست. اولین مزیت این روش فضای کمی است که ورقهای فولادی تقویتی اشغال می‌کنند. از سوی دیگر با محصور کردن بتن، مقاومت و شکل‌پذیری آن افزایش چشمگیری خواهد یافت. به این ترتیب این مجموعه دارای مقاومت خمثی بیشتری نسبت به ستون بتنی اولیه بوده و حداقل مقاومت فشاری آن، مجموع مقاومتهای فشاری جعبه فولادی و هسته بتنی خواهد بود. مکانیزم این بهبود مقاومت چنین است که به علت وجود هسته بتنی، از کمانش موضعی ورقهای فولادی به داخل مقطع جلوگیری می‌شود. از طرف دیگر گوشه‌های مقطع به علت اثرات متقابل المانهای متعماد، دارای سختی زیادی بوده که خود کاهش طول مؤثر کمانشی و گیرداری دو انتهای قطعه (ورق فولادی تقویتی) را به دنبال خواهد داشت. آزمایشات نشان می‌دهد که مقاومت کمانشی این نمونه ستونهای تقویت شده با ورق فولادی تقریباً ۲/۵ برابر جعبه فولادی بدون هسته بتنی است [۱].

از سوی دیگر با اعمال باربرستون و اضافه کردن تاریجی آن به حدی خواهیم رسید که در اثر بروز ترکهایی بسیار ریز در بتن، هسته بتنی افزایش حجم می‌یابد. این پدیده هنگامی رخ می‌دهد که تنش در بتن به بالاتر از  $0.5^{\circ}$  برسد [۲]. در روش

فشار در گوشه‌ها با وسط اضلاع متفاوت است، معادله بالا به صورت مستقیم قابل استفاده نخواهد بود و لازم است که فشار جانبی معادل در نظر گرفته شود. برای این منظور، ساتسیوگلو و همکاران [۳] معادله‌های زیر را برای محاسبه فشار معادل جانبی برای مقطع مربعی بتن مسلح پیشنهاد کردند.

$$f_{cc} = f_{co} + k_1 f_{le} \quad (4)$$

$$f_{le} = k_2 f_l \quad (5)$$

$$f_l = \frac{\sum A_s f_y \sin \alpha}{s_b} \quad (6)$$

$$k_1 = 6.7(f_{le})^{-0.17} \quad (7)$$

$$k_2 = 0.26 \sqrt{\left(\frac{b}{s}\right)\left(\frac{b}{s_l}\right)\left(\frac{1}{f_l}\right)} \leq 1.0 \quad (8)$$

که در این معادله‌ها  $f_{cc}$  مقاومت فشاری بتن محصور شده،  $f_{co}$  مقاومت فشاری بتن محصور نشده،  $f_{le}$  فشار جانبی معادل،  $A_s$  سطح مقطع فولادهای عرضی در مقطع،  $\alpha$  زاویه بین خاموتها با محور عرضی مقطع،  $s$  فاصله خاموتها،  $b$  عرض مقطع و  $s_l$  فاصله‌ی دو فولاد طولی مجاور هم هستند. با به‌دست آوردن مقدار  $f_{cc}$  و کرنشهای متناظر بر اساس معادله‌های زیر، می‌توان نمودار تنش-کرنش بتن را رسم کرد، شکل (۱).

$$\varepsilon_1 = \varepsilon_{01}(1+5k) \quad (9)$$

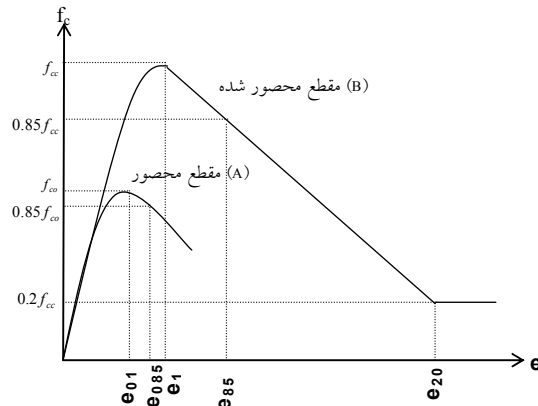
$$k = k_1 \frac{f_{le}}{F_{co}} \quad (10)$$

$$\varepsilon_{85} = 260\rho\varepsilon_1 + \varepsilon_{085} \quad (11)$$

$$\rho = \frac{\sum A_s}{s_b} \quad (12)$$

در معادله‌های بالا،  $A_s$  سطح مقطع فولادهای عرضی است. چنانچه اطلاعات تجربی در مورد مقادیر  $\varepsilon_1$  و  $\varepsilon_{085}$  در اختیار نباشد، می‌توان این دو مقدار را برای بتن‌های معمولی به ترتیب برابر  $0.002$  و  $0.0038$  در نظر گرفت. باید اضافه کرد که قسمت غیر خطی اولیه نمودار (B) در شکل (۱)، از معادله زیر به‌دست می‌آید [۳]:

$$f_c = f_{cc} \left[ 2\left(\frac{\varepsilon_c}{\varepsilon_1}\right) - \left(\frac{\varepsilon_c}{\varepsilon_1}\right)^2 \right]^{\frac{1}{(1+2k)}} \leq f_{cc} \quad (13)$$



شکل ۱- (A) روش کلاسیک بدون اثرات محصور شدگی  
(B) روش پیشنهادی با اثرات محصور شدگی

$$f_{cc} = f_{co} + k_1 f_l \quad (1)$$

که در آن  $f_{cc}$  مقاومت فشاری بتن محصور شده،  $f_{co}$  مقاومت فشاری بتن محصور نشده،  $f_l$  فشار جانبی و  $k_1$  ضریب افزایش مقاومت است. مقدار ضریب  $k_1$  به ضریب پواسون بتن بستگی دارد و مقدار آن از معادله زیر به‌دست می‌آید [۳].

$$k_1 = \frac{1-\nu}{\nu} \quad (2)$$

از آنجا که مقدار  $k_1$  برای بتن‌های مختلف و همچنین در فشارهای متفاوت عددی ثابت نیست، پژوهشگران معادله‌های دیگری نیز برای مقدار  $k_1$  پیشنهاد کرده‌اند. از جمله معتبرترین آن، معادله تجربی ریچارت و همکاران [۵] است که به صورت زیر ارائه شده است.

$$k_1 = 6.7(f_l)^{-0.17} \quad (3)$$

توضیح اینکه، معادله فوق با نتایج آزمایش‌هایی که دیگر پژوهشگران از جمله بالمر [۶] و ساتو و آیوشی [۷] انجام داده‌اند تطابق نسبی خوبی دارد و مورد تأیید قرار گرفته است. همچنین باید اضافه کرد که معادله (۳) تنها برای مقاطع با فشار جانبی یکنواخت کاربرد دارد. به عنوان مثال در مقطع دایره‌ای شکل که فشار جانبی ناشی از پوشش فولادی و یا فولادهای عرضی، یکنواخت است این معادله پاسخهای قابل قبولی می‌دهد، ولی در مقاطعی نظیر مقطع مربعی شکل که فشار جانبی یکنواخت نبوده و

جدیدی که اثرات توأم جعبه فولادی و فولادهای عرضی را در نظر بگیرد، ارائه شود.

اکنون اگر از معادله‌های (۱۴) و (۱۵) مقادیر فشار جانبی ناشی از جعبه فولادی وارد بر هسته بتنی به دست آید و از معادله‌های (۵) تا (۸) فشار جانبی ناشی از فولادهای طولی و عرضی وارد بر هسته بتنی محاسبه شود، با رویهم‌گذاری این فشارهای جانبی معادله‌های زیر به دست خواهد آمد:

$$k_1 = 6.7(f_{le} + f_{rp})^{-0.17} \quad (17)$$

$$f_{cc} = f_{co} + k_1(f_{le} + f_{rp}) \quad (18)$$

$$k = \frac{k_1(f_{le} + f_{rp})}{f_{co}} \quad (19)$$

$$\varepsilon_1 = \varepsilon_{01}(1+5k) \quad (20)$$

$$\varepsilon_{85} = 260\rho\varepsilon_l + \varepsilon_{085} \quad (21)$$

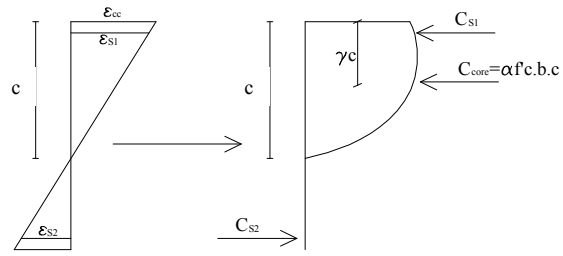
$$\rho = \frac{\sum A_s}{bs} + \frac{2t}{b} \quad (22)$$

نمودار تنش-کرنش مقاطع محصور شده ستونهای بتنی مسلح تقویت شده با صفحه‌های فولادی را می‌توان با استفاده از معادله‌های زیر در بازه‌های کرنش داده شده و با فرض کترل لغزش بین ورق فولادی و بتن به دست آورد.

$$\begin{cases} f_c = f_{cc} [2(\frac{\varepsilon_c}{\varepsilon_1}) - (\frac{\varepsilon_c}{\varepsilon_1})^2]^{1/(1+2k)} & 0 < \varepsilon_c < \varepsilon_1 \\ f_c = f_{cc} + \frac{0.15f_{cc}}{\varepsilon_{85} - \varepsilon_1} (\varepsilon_1 - \varepsilon_c) & \varepsilon_1 < \varepsilon_c < \varepsilon_{20} \\ f_c = 0.2f_{cc} & \varepsilon_{20} < \varepsilon_c \end{cases} \quad (23)$$

## ۵- اندرکنش بارمحوری-لنگرخمثی ستون

با توجه به مطالب ذکر شده در بخش‌های قبل، در ادامه نمودار اندرکنش بارمحوری-لنگرخمثی چند نمونه مقاطع ستون بتن مسلح و بتن مسلح تقویت شده با ورق فولادی با استفاده از روش سعی و خطای ارائه می‌شود. مراحل این فرایند به این ترتیب است که با فرض صفحه باقی ماندن مقاطع در قبل و بعد از بارگذاری و انتخاب یک کرنش فرضی برای آخرین تار ناحیه فشاری، محل تار خشی تعیین می‌شود. سپس با استفاده از این یافته و برقراری تعادل، درستی انتخاب فرض محل تار خشی بررسی می‌شود.



شکل ۲- نمودار تنشها و کرنشها در مقطع

## ۳- رفتار بتن در ستون جعبه‌ای فولادی آکنده از بتن

اکنون ستون جعبه‌ای فولادی آکنده از بتن بدون فولادهای طولی و عرضی مورد بررسی قرار می‌گیرد. براساس آخرین تحقیقات انجام شده توسط اُسامی و همکاران [۴]، برای بتن‌های با مقاومت فشاری ۲۰ تا ۵۰ Mpa نتایج آزمایشگاهی تقارب بیشتری دارد ارائه شده است:

$$R = \frac{b}{t} \sqrt{\frac{12(1-\nu^2)F_y}{4\pi^2 E_s}} \quad (14)$$

$$f_{rp} = -6.5R \frac{(f'_c)^{1.46}}{F_y} + 0.12(f'_c)^{1.03} \quad (15)$$

$$f_{cc} = f_{co} + mf_{rp} \quad (16)$$

در این معادله‌ها  $f_{rp}$  فشار جانبی وارد از طرف پوسته به هسته بتنی و  $m$  ضریبی بین ۴ تا ۶ تابعی از نسبت ابعاد و خواص فیزیکی موادخواهد بود. در مقاطع جعبه فولادی آکنده از بتن،  $m$  برابر ۴ پیشنهاد شده است.

## ۴- معادله‌های پیشنهادی برای رفتار ستون بتن مسلح تقویت شده با ورق فولادی

هنگامی که بحث مقاوم‌سازی ستون مطرح می‌شود، ستون بتنی همراه با فولادهای طولی و عرضی مقاطع همراه با جعبه فولادی محصور کننده مورد نظر خواهد بود. تا کنون هیچ یک از پژوهشها پاسخگوی اثرات محصور شدگی توأم جعبه فولادی و فولادهای عرضی نیستند. در این مقاله سعی بر آن است که با ترکیب معادله‌های کلاسیک و پژوهش‌های گذشته، معادله‌های

جدول ۱ - مشخصات مصالح نمونه‌های مورد بررسی

$f'_c$ (MPa)	$f_y$ (MPa)	E (MPa)	مصالح
۲۵	-	۲۵۰۰۰	بتن
-	۳۰۰	۲۰۰۰۰	فولادهای طولی
-	۳۰۰	۲۰۰۰۰	فولادهای عرضی
-	۲۴۰	۲۰۰۰۰	ورق فولادی تقویتی

ترتیب بیشترین مقدار لنگر در این بازه، لنگر متناظر با نیروی محوری فرض شده خواهد بود. با توجه به طولانی بودن فرایند فوق، برنامه رایانه‌ای برای تحلیلهای ذکر شده تهیه شده است.

در نامگذاری مقطعهای مورد مطالعه از شیوه زیر استفاده شده است. شکل عمومی نام یک مقطع به صورت bx-py در عبارت ذکر شده، x بعد مقطع بتی مریع و y ضخامت ورق b30-p0 متوسط سانتی‌متر می‌باشد. به عنوان مثال b30-p1.5 معرف ستون مریع بدون ورق تقویتی بوده و یا b30-p1.5 می‌باشد. مسلح، به ابعاد  $30 \times 30$  سانتی‌متر که با ورقهای تقویتی فولادی به ضخامت ۱۵ میلی‌متر است. مشخصات مصالح به کار گرفته شده در این نمونه‌ها که براساس مصالح موجود در ایران انتخاب شده‌اند، در جدول (۱) ارائه شده است.

لازم به توضیح است که برای نمودار تنش-کرنش بتن از معادله معروف هوگنستاد که در بخش‌های قبل به تفصیل بیان شد استفاده شده و برای فولاد، یک نمودار دوخطی الاستوپلاستیک با چشم پوشی از محدوده سخت شدگی کرنشی در نظر گرفته شده است.

## ۶- نتایج

شکلهای (۳) تا (۶) نمودارهای اندرکنش بار محوری- لنگر خمی تعدادی مقطع از وسط دهانه ستون هستند. وسط ستون بدین منظور انتخاب شده است که اثرات بازو توزیع لنگرهای محدوده اتصال تیر- ستون و کاهش و افزایش سختیها در فرایند

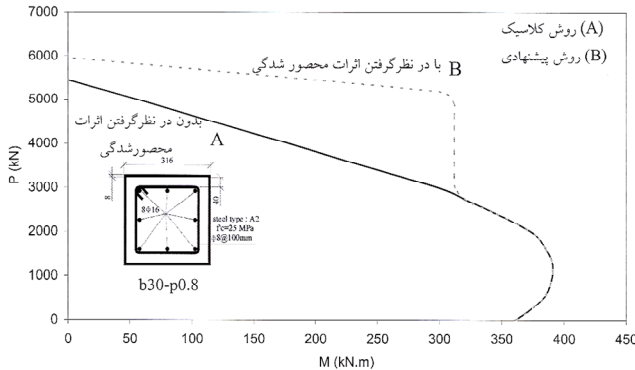
با یافتن نیروهای داخلی، شامل نیروی ناشی از مقاومت هسته بتنی ( $C_{core}$ )، نیروهای ناشی از پوشش بتن ( $C_{side}$  و  $C_{end}$ ) و نیروهای ناشی از آرماتورهای کششی و فشاری ( $C_s$  و  $T_s$ )، و برقراری معادله‌های تعادل مقطع (تعادل نیروهای داخلی با بار محوری خارجی)، با سعی و خطأ و ادامه تکرارها مقدار  $c$  ( محل تار خنثی) به دست می‌آید. سپس با لنگرگیری حول میان تار مقطع، مقدار لنگر مقاوم مقطع متناظر با این نیروی محوری تعیین می‌شود.

$$\alpha = \frac{\int_0^{\varepsilon_c} f'_c d\varepsilon}{f'_c \varepsilon_c} \quad (24)$$

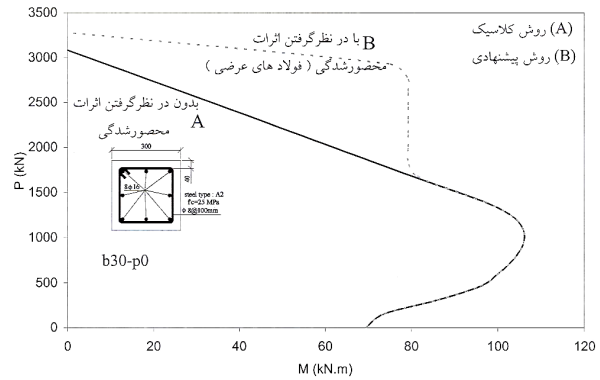
$$\gamma = 1 - \frac{\int_0^{\varepsilon_c} \varepsilon f'_c d\varepsilon}{\alpha f'_c (\varepsilon_c)^2} \quad (25)$$

سؤالی که مطرح می‌شود این است که این فرایند تا چه مرحله‌ای ادامه خواهد داشت. به عبارت دیگر بتن تا چه کرنشی مقاومت خواهد کرد. در پاسخ باید گفت که بر طبق تحقیقات انجام شده، مقدار کاملاً مشخصی برای این حد وجود ندارد. معمولاً آین نامه‌ها برای طراحی، این مقدار را در حدود ۰/۰۰۳ تا ۰/۰۰۳۵ در نظر می‌گیرند. اگر چه مقدار کرنش نهایی بتن به ویژه بتن‌های با مقاومت فشاری پایین و بتن‌های محصور شده تا ۰/۰۰۸ خواهد رسید. به عنوان مثال آین نامه بتن ایران (آب) این مقدار را ۰/۰۰۳ تا ۰/۰۰۸ در نظر گرفته و در طراحی‌ها مقدار ۰/۰۰۳ را برگزیده است.

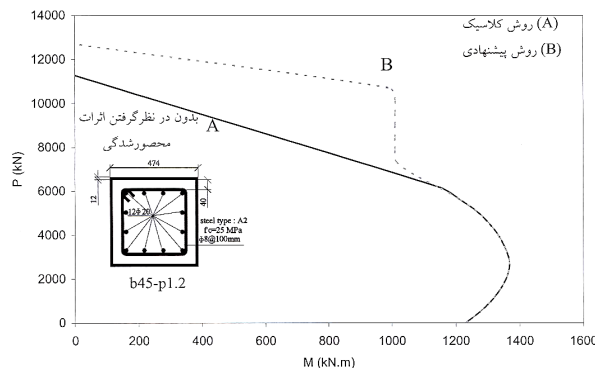
در این پژوهش، با توجه به مبحث محصور شدگی و همچنین بررسی رفتار مقطع از شروع بارگذاری تا حد نهایی، کرنش نهایی بتن ۰/۰۰۷ در نظر گرفته شده است. به این



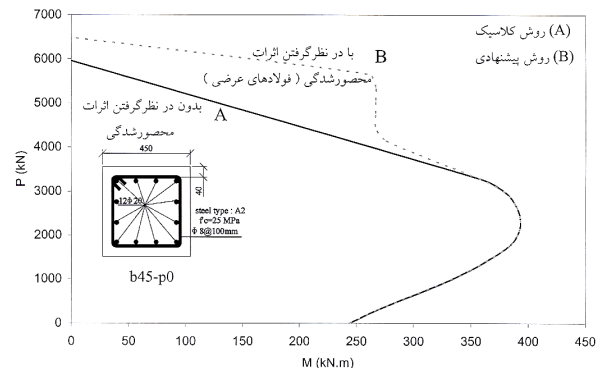
شکل ۴ - نمودار اندرکنش بارمحوری- لنگر خمی نمونه b30-p0.8  
محصور شده توسط فولادهای عرضی و ورق فولادی



شکل ۳ - نمودار اندرکنش بارمحوری- لنگر خمی نمونه b30-p0  
محصور شده توسط فولادهای عرضی



شکل ۶ - نمودار اندرکنش بارمحوری- لنگر خمی نمونه b45-p1.2  
محصور شده توسط فولادهای عرضی و ورق فولادی



شکل ۵ - نمودار اندرکنش بارمحوری- لنگر خمی نمونه b45-p0  
محصور شده توسط فولادهای عرضی

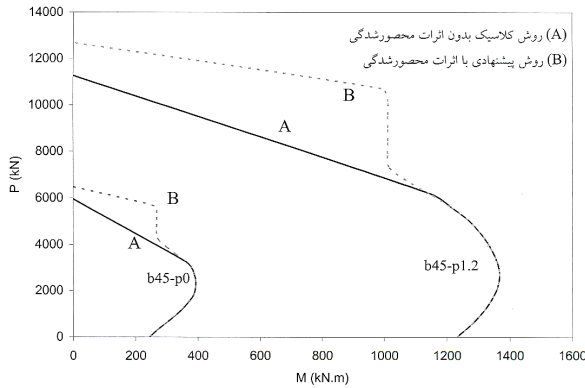
محدوده شکست مواد، (بار محوری بیش از بار بالанс) در روش‌های کلاسیک محافظه کارانه تخمین زده می‌شوند. این امر در شرایطی که لنگر اعمالی به ستون و یا خروج از مرکزی بارهای محوری زیاد باشد احتمالاً برای ستونهای کناری که معمولاً در چنین حالتی قرار می‌گیرند، قابل چشم پوشی است ولی برای ستونهای میانی که بار محوری نسبتاً زیاد و لنگر خمی نسبی کمتری دارند قابل چشم پوشی نخواهد بود. بازه این تفاوتها در شکلهای (۴) و (۶) که اثرات محصورشدنگی بیشتر است، تا حدود ۷۵٪ لنگر نهایی دیده می‌شود.

موارد ذکر شده می‌تواند ریشه در معادله پیشنهادی هوگنستاد داشته باشد. در این نظریه با توجه به شکل (۱)، بعد از یک کرنش مشخص ( $E_{20}$ )، مقدار تنش ثابت می‌شود. این در حالی است که در بعضی از آیین نامه‌ها از اثرات محصور شدگی

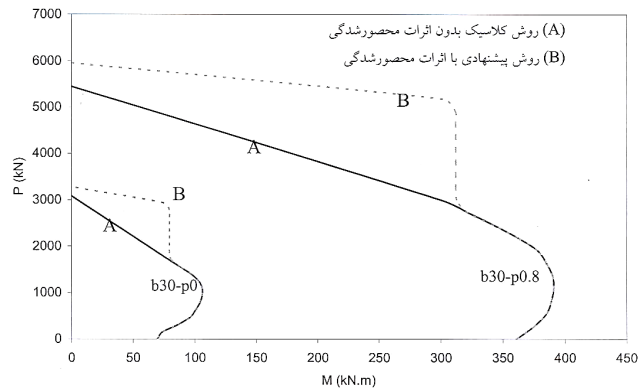
بارگذاری و سایر پارامترهای مؤثر بر اندرکنش بارمحوری- لنگر خمی که مورد مطالعه این پژوهش نیستند، حذف شوند. در این نمودارها ضرایب کاهش مقاومت نیز به کار گرفته نشده‌اند.

شکلهای (۳) و (۵) نمودارهای اندرکنش بار محوری- لنگر خمی مقطع بتن آرمه بدون ورق فولادی است. نمودار A معرف رفتار ستون مسلح به روش کلاسیک و بدون در نظر گرفتن اثرات محصورشدنگی و نمودار B رفتار ستون با اعمال اثرات فولادهای عرضی است.

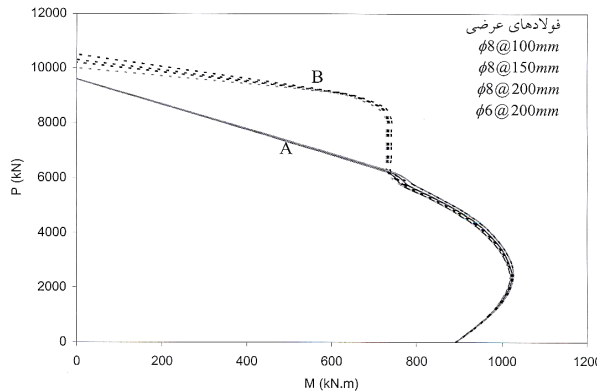
در نمودار B، زمانی که در محدوده صفر تا حدود ۷۰٪ لنگر نهایی، ستون تحت اثر بارهای اعمالی قرار می‌گیرد، روند کاهش بار محوری متناظر با لنگر مقاوم مشابه روش کلاسیک نیست. این بدان معناست که مقاومت ستونهای بتن آرمه در



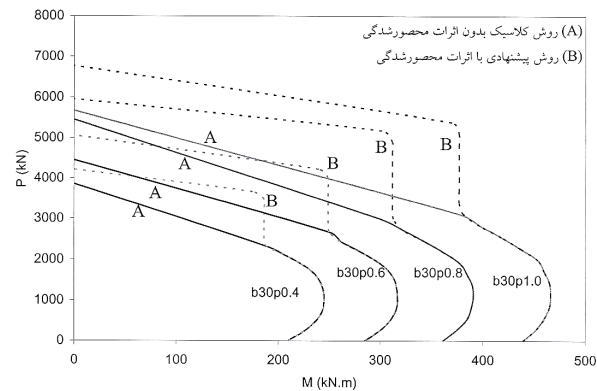
شکل ۸ - نمودار اندرکنش بار محوری- لنگر خمی نمونه های b45-p0 و b45-p1.2



شکل ۷ - نمودار اندرکنش بار محوری- لنگر خمی نمونه های b30-p0 و b30-p0.8



شکل ۱۰ - نمودار اندرکنش بار محوری- لنگر خمی نمونه های b45-p0.8 با فولادهای عرضی متفاوت



شکل ۹ - نمودار اندرکنش بار محوری- لنگر خمی نمونه های b30-p0.4, b30-p0.6, b30-p0.8, b30-p1.0

فولادی تقویتی بر مقاومت مقطع ارائه شده است. در این نمودار با ثابت ماندن مشخصات مقطع، تنها ضخامت صفحه تقویتی تغییر می‌کند.

نمودار ارائه شده در شکل (۱۰) بیانگر رفتار اندرکنشی نمونه‌هایی است که تفاوتشان تنها در میزان فولادهای عرضی تقویتی است، در این نمودارها اثر محصورشدنگی به خوبی در بارهای محوری نمایان است.

## ۷- نتیجه‌گیری

۱- روش به کار گرفته شده در آیین نامه‌ها، در محدوده شکست مواد ستوнаها، چه در شرایط استفاده از ورقهای تقویتی و چه در شرایط استفاده تنها از فولادهای عرضی بسیار محافظه کارانه است و از آنجا که بیشترین تعداد

صرف نظر می‌شود. از سوی دیگر همان گونه که در این نمودارها آشکار است، مقطع دارای بیشترین مقاومت خمی در بار محوری حدود ۲۰ تا ۴۰ درصد بار محوری نهایی مقطع است. به منظور مطالعه جامعتر و مقایسه بهتر، نمودارهای مربوط به اثر صفحه‌های تقویتی بر رفتار عضو در شکلهای (۷) و (۸) ارائه شده که از تلفیق شکلهای (۳) تا (۶) حاصل شده‌اند. همان طور که در شکلهای (۷) و (۸) دیده می‌شود مقاومت خمی ستوнаهای بتن مسلح تقویت شده با صفحه فولادی نسبت به ستون بتن مسلح بسیار بیشتر است، در حالی که افزایش مقاومت محوری آنچنان چشمگیر نیست. به عنوان مثال، مقاومت خمی در این نمونه‌ها در اثر مقاوم سازی  $3/8$  برابر شده است، در حالی که مقاومت فشاری آن حدود  $1/8$  برابر شده است. نمودار شکل (۹) که در ادامه آمده است، تأثیر ورقهای

- به حداقل مقدار می‌رسد. تعداد این نوع ستونها در سازه‌های بلند و با مقاطع طریف قابل توجه است.
- ۴- مقاوم سازی ستونهای بتن مسلح به شیوه پوشش دادن با ورقهای فولادی، یکی از روش‌های کارامد و آسان مقاوم سازی است. از مزایای بارز این شیوه، در دسترس بودن مصالح تعویضی و سهولت اجرای آن است. ضمن اینکه محصور کردن هسته بتنی باعث افزایش مقاومت ستون و کنترل شکل پذیری آن نیز می‌شود.
- ۵- نمودارهای ارائه شده می‌توانند نمونه‌هایی برای اصلاح روش‌های موجود به ویژه در مقاوم سازی سازه‌ها باشند، ولی یادآوری می‌شود که در حال حاضر امکان استفاده کاربردی به استناد آنها وجود ندارد.

ستونهای سازه‌ها را ستونهای میانی که در آنها نسبت بار محوری به لنگر خمشی زیاد است، تشکیل می‌دهند، بنابراین نیاز به بازنگری در معادله‌های و منحنیهای تداخلی P-M ستونها، ضروری به نظر می‌رسد.

۲- در صورت اعمال بار محوری بسیار زیاد، اختلاف میان روش کلاسیک و روش پیشنهادی به تدریج و به مقدار کمی کاهش می‌یابد.

۳- در ستونهای با بار محوری متوسط و لنگر خمشی نسبتاً زیاد و در ستونهای لاغر و بلند که به دلیل اثرات  $\Delta - P$  باید در یک بار محوری مشخص لنگر بیشتری را تحمل کنند و همچنین افزایش تؤام  $\phi$  و  $M$  نسبت به ستونهای کوتاه مشابه، اختلاف بین روش کلاسیک و روش دقیق پیشنهادی

## مراجع

- Shanmugam, N. E., Lakshmi, B., and Uy, B., "An Analytical Model for Thin-Walled Steel Box Columns with Concrete in-fill," *Journal of Structural Engineering*, Vol. 24 , pp.825-838, 2002.
- Viest, I.M., Colaco, J.P., Furlong, R.W., Griffits, L.G., Loring, R.T., and Wyllie, L.A., "Composite Construction Design for Buildings," 1997.
- Saatcioglu, M., and Razvi, S.R., "Strength and Ductility of Confined Concrete," *Journal of Structural Engineering*, Vol.6, pp.1590-1607, 1992.
- Susantha, K. A. S., Ge, H., and Usami, T., "Uniaxial Stress-Strain Relationship of Concrete Confined by Various Shaped Steel Tubes," *Journal of Structural Engineering*, Vol. 23 , pp.1331-1347, 2001.
- Richart, F. E., Brandtzaeg, A., and Brown, R. L., "A Study of the Failure of Concrete Under Combined Compressive Stresses," *Bulletin No. 190, Univ. of Illinois Engng. Experimental Station, Urbana,Ill*, 1928.
- Balmer, G. G., "Shearing Strength of Concrete Under High Triaxial Stress-Computation of Mohr's Envelope as a Curve," *Structural Research Lab. Report No. SP-23, U.S. Bureau of Reclamation, Denver,Co*, 1949.
- Sato, T., and Ibushi, K., "Effect of Confinement on Ductile Behavior of Reinforced Concrete Short Columns," *Trans. of the Japan Concrete Inst.*,10(5),337-344, 1988.
- Yasuyoshi, Miyauchi, "Studies on Repair and Strengthening Methods of Damaged Reinforced Concrete Columns," *Cement and Concrete Composites* 22 , pp.81-88, 2000.
- Yiao, Y., Wu, H., "Retrofit of Reinforced Concrete Columns Using Partially Stiffened Steel Jackets," *Journal of Structural Engineering*, Vol. 129,No.6, pp.725-732 , 2003.